

$\text{La}_{2-x}\text{Sr}_x\text{NiO}_{4+\delta}$ の FZ 成長と物性評価

物性学講座 池部研究室 篠原 聰

目的

銅酸化物高温超伝導体 $\text{La}_{2-x}(\text{Ba}/\text{Sr})_x\text{CuO}_4$ (LBCO/LSCO)と同じ正方晶 K_2NiF_4 型構造を持つ $\text{La}_{2-x}\text{Sr}_x\text{NiO}_{4+\delta}$ (ここで δ は過剰酸素量)は、高温超電導体の発見や、低ドープ領域においてスピノ荷ストライプを示すことで特に注目を浴び、酸化物超伝導体の関連からも広く研究されるようになった。酸化物高温超伝導体の研究は焼結体から始まったが、焼結体は結晶方位がランダムランダムな多結晶であり、粒界が存在する。異方的な結晶構造を持つ物質の物性は当然、異方的であり、本質的な物性を理解するには単結晶を用いた評価が必要になる。

本研究では Floating Zone(FZ)法による $\text{La}_{2-x}\text{Sr}_x\text{NiO}_{4+\delta}$ (LSNO)単結晶試料($x=0.2, 0.33, 0.5$)の作製を行い、その物性を評価した。また、測定結果を過去の研究室での研究結果と比較した。

実験方法

①試料作製

試料の原料粉は La_2O_3 、 SrCO_3 、 NiO をそれぞれの組成比で乳鉢で 30 分、自動乳鉢で 2 時間混合し、まず 1000°C 、24 時間の仮焼きを電気炉で行う。その後再び試料混合し、ペレットにして 1200°C 、8 時間の仮焼きを電気炉で行う過程を二度繰り返した。得られた仮焼き粉をゴムチューブに詰めて真空引きし、静水圧プレスで 70MPa の圧力をかけて棒状に圧縮した後、 1000°C で 8 時間電気炉で焼結した。これにドリルで穴を開けてシリコニット炉で 1500°C で 8 時間吊るし焼きを行い、直径約 5 mm、長さ約 100 mm の焼結棒にする(焼結はいずれも空气中)。この焼結棒を用い、FZ 法で結晶育成を行った。成長条件は 10atm の O_2 霧囲気で流量 $0.1[\text{l}/\text{min}]$ 、成長速度 $2.5[\text{mm}/\text{h}]$ で行った。

②測定方法

X 線回折は粉末法(30kV 、 30mA 、 0.02deg につき 4 秒)を用い、酸素量測定($4+\delta$)はヨードメトリー法でそれぞれ測定した。電気抵抗率の測定は試料を切出し成長方向に直流 4 端子法で、He 冷凍機を用いて 10K から 300K までの温度範囲で測定した。磁化は SQUID(超伝導量子干渉計)磁束測定装置を用い、ゼロ磁場冷却(ZFC)後 0.5T の磁場を印加して 10K から 300K の範囲で測定した。

③比較試料

比較する $\text{La}_{2-x}\text{Sr}_x\text{NiO}_{4+\delta}$ 試料として、昨年度の卒業生である佐々木学氏の作製した $X=0.2, 0.33, 0.5$ の焼結体と、寺沢耕太郎氏の作製した $X=0.2, 0.33$ の FZ 試料($X=0.2$: Air 流量 $10[\text{l}/\text{min}]$ 、 $X=0.33$: O_2 流量 $10[\text{l}/\text{min}]$ 、共に 1atm 中で育成)を使用した。

結果

FZ 法で 10atm 中 LSNO $X=0.2, 0.33, 0.5$ の試料を作製することが出来た。この他に $X=0.0, 0.5$ の試料を 1atm で育成しようと試みたが失敗に終わった。

(i) X 線回折

Fig.1 に、作製した LSNO 試料 $X=0.2, 0.33, 0.5$ の粉末 X 線回折パターンを 1atm の試料の測定結果と比較したものを見ます。不純物相は無く、単相が出来ていることを確

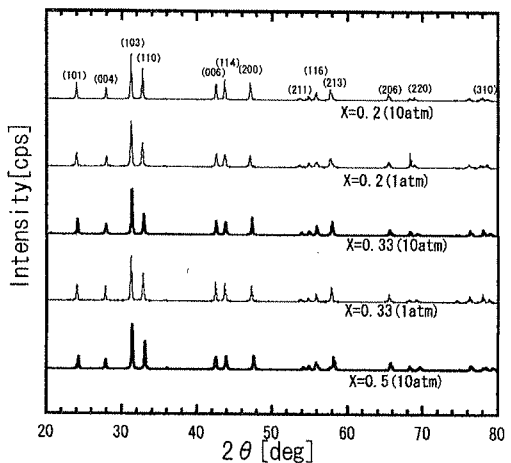


Fig.1. X 線回折パター

認した。また、試料の配向性を調べるためにラウエ写真を撮ったが、どのように結晶が成長しているのか決定には至らなかった。そこで切断面を θ - 2θ スキャンをして成長方向を調べた。

(ii) 電気抵抗率

Fig.2 は、FZ 試料の電気抵抗率を 1atm の FZ 試料と焼結体の測定結果と比較したものである。LSNO は全体的に絶縁体的な振る舞いを示しているのが分かる。 $X=0.33$ では 240K 付近で降温とともに電気抵抗率の急激な増大がみられた。この電気抵抗率の増大は Charge order 転移によるものであると考えられる。

Fig.3 にこの電気抵抗率の温度微分を示す。 $T_{CO}=240K$ 付近で焼結体や 1atm の試料よりも 10atm の試料の方がピークが鋭くなっている。これは、10atm の試料が Charge order が顕著になっていることを表していると考えられる。

また、Fig.2 で全ての X の値において、焼結体に比べ FZ 法で作製した試料は絶対値が約 1 枠大きい。これは、c 軸(結晶構造における c 方向に伸びる軸)に平行な方向の抵抗が垂直な方向の抵抗に比べ約 2 枠大きいことが報告されており、FZ 試料の成長方向はこの c 軸成分をより多く含んでいるためと考えられる。

(iii) 酸素量

今回作製した FZ 試料と 1atm の FZ 試料の酸素量を測定し、焼結体のデータと比較したものを Fig.4 に示す(プロット中にある棒は平均値を示す)。

焼結体と 1atm の試料に比べ、10atm の試料の方が酸素量が多い。また、X の値が増えるにつれ酸素量が減少していることが明らかになった。

まとめ

本研究で、 $La_{2-x}Sr_xNiO_{4+\delta}$ の試料を 10atm 中で FZ 法で作製した。しかし、ラウエ写真や X 線の θ - 2θ スキャンの結果から単結晶では無いことが分かった。

電気抵抗率の結果から、焼結体や 1atm で育成した試料よりも 10atm で育成した試料の方が Charge order が顕著に現れ、結晶性が向上していることが分かった。また酸素量の結果から、10atm で育成した試料の方が 1atm での試料や焼結体に比べ、より多くの酸素を含んでいることが分かった。

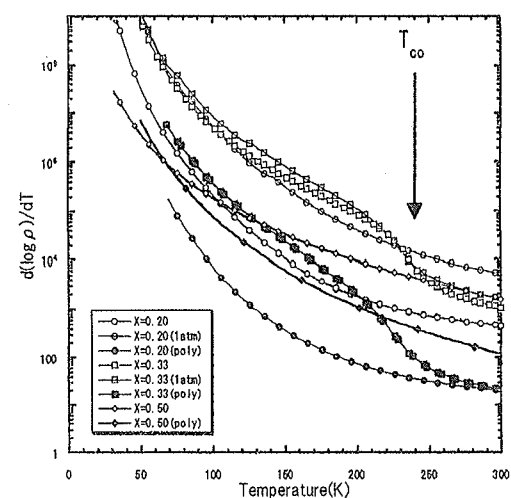


Fig.2. 電気抵抗率の温度依存性

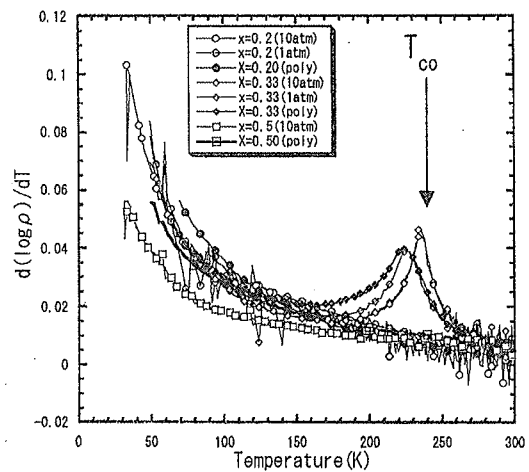


Fig.3. 電気抵抗率の微分と温度依存性

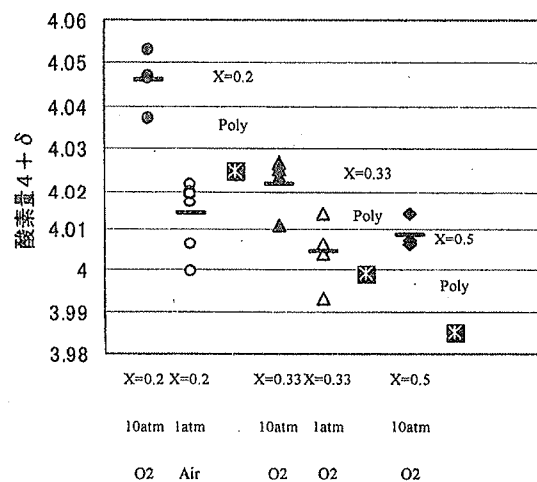


Fig.4. 酸素含有量